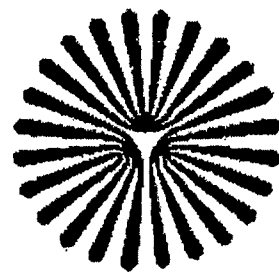


بِسْمِ اللَّهِ الرَّحْمَنِ الرَّحِيمِ

٩٨٩١٤



دانشگاه پیام نور مشهد

عنوان پایان نامه :

دوزیمتری نوترون چشمeh  $Cf_{98}^{252}$  و محاسبه توزیع دوز آن در

بافت نرم و فانتوم آب

ارائه شده جهت اخذ درجه کارشناسی ارشد فیزیک هسته‌ای

استاد راهنما :

دکتر علی اصغر مولوی

استاد مشاور :

مهندس علی رضا بینش

نگارنده :

میثم پرتوی

۱۳۸۷ / ۰۲ / ۲۰

بهمن ۸۶

۹۸۹۱۷

تقدیم به پدر و مادر عزیزم

## تشکر و قدردانی

سپاس فقط مختص ذات بی همتای اوست و سپاس از بنده سپاس از اوست. اینک که به یاری خدا این مرحله دانشگاهی را به پایان می رسانم جا دارد تا مراتب سپاس و قدردانی خودم را از استاد محترم و کسانی که مرا در این سالها یاری کرده‌اند به جا آورم. مراتب سپاس و قدردانی خود را به محضر استاد گرامی جناب آقای دکتر مولوی که در طول این پژوهش اینجانب را از راهنمایی‌های بزرگوارانه و خردمندانه خویش بهره‌مند ساخته‌اند و هر بار روحیه‌ای تازه به من می‌بخشیدند تقدیم می‌دارم. همچنین از استاد گرامی جناب آقای مهندس بینش که تشویق‌هایشان موجبات دلگرمی بیشتر را فراهم می‌کرد کمال تشکر را دارم. از استاد گرامی جناب آقای دکتر محمدی به خاطر قبول زحمت مطالعه و داوری این پایان نامه سپاسگذاری می‌کنم. از خانواده عزیزم که در این مدت همراه و یار من بودند ولحظه لحظه زندگیم را مدبون آنها می‌دانم و اگر بدل توجه و عنایت اینان نبود، بنده به این مرحله نمی‌رسیم. تشکر کرده و امیدوارم توانسته یاشم ذره‌ای از فدایکاری‌هایشان را جبران کرده باشم.

## فهرست مطالب

چکیده

### فصل اول: برهم‌کنش نوترون با ماده

۱	۱-۱ تاریخچه کشف شکافت هسته‌ای
۲	۲-۱ فیزیک فرآیند شکافت
۴	۳-۱ شکافت خود بخود
۵	۴-۱ پاره‌های شکافت
۷	۵-۱ پرتوزایی پاره‌های شکافت
۸	۶-۱ برهم‌کنش نوترون با ماده
۹	۶-۱-۱ برخورد کشسان
۹	۶-۱-۲ برخورد ناکشسان
۱۰	۶-۱-۳ برخورد غیرکشسان
۱۰	۶-۱-۴ فرآیند گیر اندازی (شکار)
۱۰	۷-۱ اهمیت نسبی برهم‌کنش نوترون با عناصر H و C و N و O

### فصل دوم: برهم‌کنش گاما با ماده

۱۳	۱-۲ مقدمه
۱۴	۲-۱ برهم‌کنش پرتوهای گاما با ماده
۱۴	۲-۲-۱ اثر فوتوالکتریک
۱۵	۲-۲-۲ اثر کامپیتون
۱۷	۲-۲-۳ تولید زوج
۱۸	۳-۲ اهمیت نسبی فرآیندهای فوتوالکتریک، کامپیتون و تولید زوج

## فصل سوم: معرفی چشمہ کالیفرنیم

۱۹ .....	۱-۳ چشمہ کالیفرنیم.....
۲۲ .....	۲-۳ گاماهای گسیل شده از چشمہ $^{۹۸}Cf$ ..... ۲-۳-۱ اشعه گامای حاصل از پاره‌های شکافت.....
۲۳ .....	۲-۳-۲ اشعه گامای ناشی از واپاشی آلفای ایزوتوب $^{۹۸}Cf$ ..... ۲-۳-۳ اشعه گامای ناشی از برهم‌کنش ( $n, \gamma$ ) .....
۲۴ .....	۳-۲-۳ اشعه گامای ناشی از برهم‌کنش ( $n, \gamma$ ) .....
	فصل چهارم: پرتو درمانی و دوز جذبی
۲۵ .....	۴-۱ سرطان.....
۲۶ .....	۴-۲ روش‌های درمانی.....
۲۶ .....	۴-۲-۱ جراحی.....
۲۶ .....	۴-۲-۲ شیمی درمانی.....
۲۸ .....	۴-۲-۳ رادیوتراپی(پرتو درمانی).....
۳۰ .....	۴-۳-۱ چشمه‌های رادیواکتیو برای درمان کاشتی.....
۳۰ .....	۴-۳-۲ قالب‌ها یا پلاک‌ها (Molds or plaques) .....
۳۱ .....	۴-۳-۳ کشت‌های درون بافتی (Interstitial implants) .....
۳۱ .....	۴-۳-۴ کشت‌های درون حفره‌ای (Intracavity implants) .....
۳۲ .....	۴-۴ حفاظت در برابر چشمه‌های رادیواکتیو بسته.....
۳۴ .....	۴-۵ تاریخچه دوز جذبی.....
۳۶ .....	۴-۶ مفهوم کرما و تعریف آن.....
۳۷ .....	۷-۴ رابطه کرما و دوز جذب.....

۳۸	۴-۸ دوزیمتری در میدان مخلوط
	<b>فصل پنجم: روش مونت کارلو، کد MCNP و نتایج دوزیمتری</b>
۴۰	۱-۵ مقدمه
۴۱	۲-۵ شبیه سازی با استفاده از تولید اعداد تصادفی به روش مونت کارلو
۴۴	۳-۵ آشنایی با کد رایانه‌ای MCNP
۴۵	۴-۵ معرفی کتابخانه سطح مقطع‌ها در کد MCNP
۴۶	۵-۵ آشنایی با فایل ورودی MCNP
۴۶	۱-۵-۵ پیکره کلی یک فایل ورودی کد MCNP
۴۷	۲-۵-۵ تعریف هندسه مساله
۴۷	۳-۵-۵ تعریف چشم
۴۸	۴-۵-۵ تعریف مد حل مساله
۴۸	۵-۵-۵ تعریف کارت اهمیت
۴۹	۶-۵-۵ تعریف خواسته‌ها و خروجی‌های مساله (تالی‌ها)
۵۰	۷-۵-۵ تعریف نوع مواد داخل سلول‌ها
۵۰	۸-۵-۵ شرط پایان
۵۱	۶-۵ برآورد خطاهای مونت کارلو
۵۴	۷-۵ مشخصات چشم و فانتوم
۵۶	۸-۵ محاسبه دوز ناشی از نوترون
۵۹	۹-۵ محاسبه دوز ناشی از گاما
۶۱	۱۰-۵ محاسبه دوز ناشی از گاماهای القایی و دوز کل
۶۵	۱۱-۵ جمع بندی و نتیجه‌گیری

مراجع

## **Abstract**

Theoretical and experimental studies have been applied for dosimetric parameters determination of the brachytherapy sources. Usually, Monte Carlo method has been used to define such quantities as the anisotropy dose function, the radial dose function, and the dose calculation close to the source in brachytherapy.  $^{252}\text{Cf}$  source is used widely in brachytherapy to treat localized tumors near body site. In this present work, we have used MCNP4C code to calculate relative dose and anisotropy dose function HDR  $^{252}\text{Cf}$  in a water phantom.

$^{252}\text{Cf}$  is an artificial radioisotope which is produced in small amounts. The decay of this isotope is in the form of alpha particles emission (97%) and spontaneous fission (3%). The average number of neutrons in each fission is  $3.77 \text{ } n/\text{sf}$ . So a very small amount of this element can produce a considerable neutron flux. For example a source of 2 or 3 milligrams in size can emit  $10^6 \text{ } n/\text{s}$ .

In the present work, the dose distribution has been calculated around the  $^{252}\text{Cf}$  located in the center of water phantom sphere with 15 cm radius. Relative dose curves draw, Then, the isodose points were found by interpolate from relative dose curves.

## چکیده

امروزه با پیشرفت فیزیک هسته‌ای و کاربرد آن در علوم مختلف از جمله پزشکی، تشخیص و درمان بسیاری از بیماری‌ها میسر گردیده است. یکی از کاربردهای پزشکی هسته‌ای در درمان سرطان‌ها، استفاده از روش پرتودرمانی می‌باشد.

پرتودرمانی به معنای از بین بردن تومورهای بدخیم و یا کوچک کردن آنها توسط اشعه دادن می‌باشد. پرتودرمانی به دو صورت، پرتودرمانی خارجی (تله‌ترایپی) و یا پرتودرمانی داخلی (براکی‌ترایپی) می‌باشد. مزیت براکی‌ترایپی نسبت به تله‌ترایپی در این است که بیشترین دوز به بافت سرطانی و کمترین دوز به بافت سالم اطراف تومور می‌رسد.

چشمهدای رادیواکتیو برای درمان کاشتی را می‌توان در سه گروه نام‌گذاری کرد: ۱- قالب‌ها یا پلاک‌ها ۲- کشت‌های درون بافتی ۳- کشت‌های درون حفره‌ای که هر کدام با توجه به نوع و مکان سرطان استفاده می‌شوند.

چشمهدای براکی‌ترایپی شبیه سازی شده در این پژوهش  $Cf^{98}$  می‌باشد. واپاشی غالب این ایزوتوپ مانند بیشتر اکتنیدها، تلاشی آلفا زا است، به طوری که ۳٪ واپاشی‌ها از نوع شکافت خودبخود با نیمه عمر ۸۵/۵ سال و ۹۷٪ از نوع آلفا زا با نیمه عمر ۲/۷۳ سال هستند. یک گرم ماده فعال از این ایزوتوپ، تعداد  $2/3 \times 10^{12}$  نوترون بر ثانیه گسیل می‌کند و فعالیت آن  $Bq 2 \times 10^{13}$  است. به بیان دیگر با حدود چند میلی گرم ماده فعال این ایزوتوپ می‌توان چشمهدای با قابلیت گسیل  $\frac{n}{s} 10^6$  و نیمه عمر مؤثر ۲/۶۵ سال تولید کرد.

گاماهای گسیل شده از ایزوتوپ  $Cf^{98}$  را می‌توان در سه گروه دسته بندی کرد: ۱- اشعه گامای حاصل از پاره‌های شکافت ۲- اشعه گامای ناشی از واپاشی آلفا زا ۳- اشعه گامای ناشی از برهم‌کنش ( $n\gamma$ ). در این پایان‌نامه با استفاده از کد MCNP، دوز ناشی از چشمهدای کالیفرنیم را در فانتوم آب و در فوائل مختلف از چشمهد که از سه قسمت، دوز نوترون‌ها، دوز فوتون‌ها و دوز ناشی از برهم‌کنش ( $n\gamma$ ) تشکیل می‌شود به دست آورده و برای محاسبه دوز کل این سه نوع دوز را با هم جمع می‌کنیم؛ آنگاه منحنی‌های PDD بر حسب فاصله را رسم نموده و با درون‌یابی از روی این منحنی‌ها، منحنی‌های همدوز را ترسیم نمودیم.

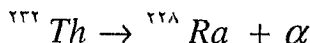
فصل اول

برهم‌گنش نوترون با ماده

## ۱-۱ تاریخچه کشف شکافت هسته‌ای

پیشرفت فیزیک هسته‌ای در سال ۱۹۳۰/۱۳۰۹ خیلی با سرعت صورت گرفت. به دنبال کشف نوترون توسط چادویک در سال ۱۹۳۲/۱۳۱۱، مطالعه اثرات هسته‌های مختلف که در معرض پرتوهای نوترون قرار می‌گرفتند، مورد توجه قرار گرفت. انریکوفرمی و همکارانش در ایتالیا، عناصر مختلفی را در معرض پرتوهای نوترونی قرار دادند و پرتوزایی القایی حاصل از گیراندازی نوترون را مطالعه کردند. آنها کشف کردند که بسیاری از هسته‌ها به دنبال گیراندازی نوترون، با گسیل  $\beta^-$  واپاشیده می‌شوند و طی این فرآیند، هسته‌ها تمایل دارند که با تبدیل یک نوترون، فرونی نوترون را جبران کنند [۱]. اما در بمباران اورانیوم با نوترون نتایج عجیبی بدست آمد. فرمی و همکارانش در نتایج آزمایش با اورانیوم، به جای یک عنصر رادیو اکتیو، چهار عنصر با چهار نیمه عمر متفاوت پیدا کردند. چون تا آن موقع فقط سه ایزوتوپ اورانیوم شناخته شده بود، یکی از عناصر حاصله را به اشتباه عنصر ۹۳ تصور کردند. در طی این سالها، مقالات فرمی و همکارانش مورد توجه مایتنر (Meitner)، هان (Hahn) و اشتراسمان (Strassman) قرار گرفت. آنها نیز آزمایش‌های فرمی را در برلین تکرار کردند و در آزمایش‌های خود از روش شاخص گذاری (Indicator) استفاده کردند.

اشتراسمن و هان در سال ۱۳۱۷/۱۹۳۸ آزمایش‌های خود را تکرار کردند و در طی این آزمایش‌ها، عناصری را که تصور می‌کردند چهار ایزوتوپ رادیوم است، پیدا کردند. این نتیجه نامعقول می‌نمود، زیرا برای تولید رادیوم از اورانیوم باید طبق واکنش‌های زیر دو آلفا گسیل می‌شد و این از لحاظ انرژی قابل قبول نبود.



هان و اشتراسمان با استفاده از روش‌های رادیو شیمیایی خیلی دقیق، یقین پیدا کردند که آنچه تصور می‌کردند ایزوتوپ رادیوم است در واقع باریم (Ba) بوده است [۲]. بنابراین نتیجه گرفتند که با بمباران عناصر سنگین توسط نوترون، طی فرآیند ناشناخته‌ای عناصر سبکتر بوجود می‌آیند؛ که این فرآیند ناشناخته را اولین بار ماینتر و فریش در سال ۱۳۱۸/۱۹۳۹ شکافت (Fission) نامیدند [۳].

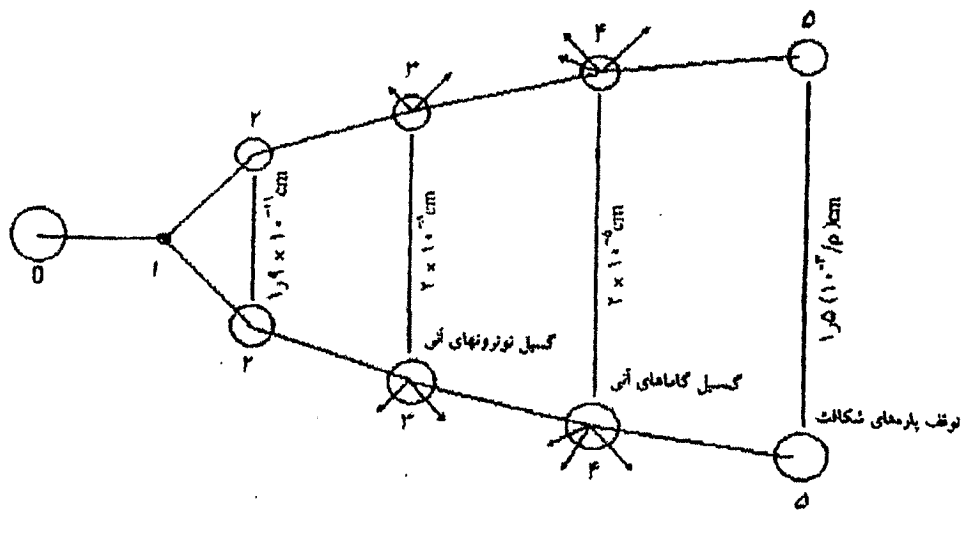
## ۲-۱ فیزیک فرآیند شکافت

شکافت عمدتاً بر اثر رقابت بین نیروهای هسته‌ای و کولنی در هسته‌های سنگین حاصل می‌شود. انرژی بستگی هسته‌ای کل تقریباً متناسب با  $A$  (یا تقریباً متناسب با  $Z$ ) افزایش می‌یابد، در حالی که انرژی دافعه کولنی پروتون‌ها به طور سریعتر مثلاً متناسب با  $Z^2$  افزایش می‌یابد. می‌توان هسته‌های سنگین را به صورت هسته‌های واقع در نزدیک لبه چاه پتانسیل در نظر گرفت، که در آن سد کولنی خیلی نازک و به آسانی قابل نفوذ است. در این صورت شکافت می‌تواند خودبخود به عنوان یک فرآیند واپاشی طبیعی روی دهد، یا می‌تواند از طریق جذب یک ذره با انرژی نسبتاً کم، نظیر یک فوتون یا نوترون ایجاد شود.

شکافت هسته‌ای یک پدیده کاملاً تجمعی است، به طوری که تحت تأثیر یک رشته نوسان‌های شدید، هسته تغییر شکل پیدا کرده و این تغییر شکل منجر به شکسته شدن آن به دو پاره شکافت تقریباً هم جرم می‌شود. این شکستگی را برش می‌نامند. در نقطه برش ممکن است بیشتر از دو پاره شکافت نیز بوجود آید.

بعد از نقطه برش، نیروی دافعه کولنی پاره‌های شکافت، بیشتر از نیروی جاذبه هسته‌ای آنها شده و پاره‌ها یکدیگر را دفع می‌کنند، و در خلال آن با گسیل نوترون و پرتو بتا به حالت‌هایی با عمر طولانی و یا حالت‌های پایه و انجیخته می‌شوند. فرآیند و انجیختگی اولیه را فرآیند آنی (prompt) می‌نامند. پاره‌های شکافت حتی اگر در حالت پایه‌شان تشکیل شوند معمولاً دور از خط پایداری بتا ( $\beta$ ) هستند. بنابراین با گسیل بتا یا نوترون به هسته‌های پایدار تبدیل می‌شوند؛ این فرآیندهای تأخیری [delay] می‌نامند.<sup>[۴]</sup>

مقیاس زمانی مراحل مختلف شکافت در شکل ۱-۱ نشان داده شده است. در این شکل، مقیاس افقی، زمان بقای مراحل مختلف و مقیاس عمودی، فاصله بین پاره‌های شکافت را نمایش می‌دهد [۵].



$$| -10^{-5} \times 10^{15}/\text{m} | = | -10^{-5} \times 10^{13} | = | -10^{-5} | = | -10^{-5} | = | -10^{-5} |$$

شکل ۱-۱: نمایش فرآیند شکافت. رویدادها عبارتند از:

- ۰- شکل گیری حالت اولیه ۱- شکافت (لحظه برش) ۲- پاره‌های شکافت ۳- گسیل نوترون‌های آنی ۴- گسیل گاماهاهای آنی ۵- توقف پاره‌های شکافت و واپاشی آنها توسط فرآیندهای تأخیری.

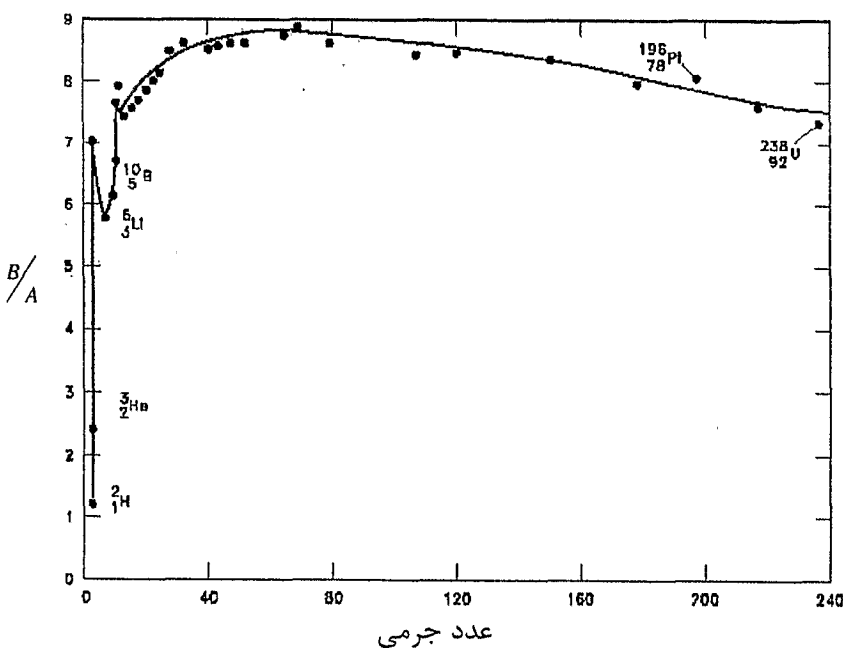
### ۱-۳ شکافت خودبخود

اغلب تصور می‌کنیم که شکافت تحت شرایط غیر طبیعی، مثلاً در یک راکتور هسته‌ای، رخ می‌دهد اما بعضی هسته‌ها در طبیعت وجود دارند که عمل واپاشی رادیواکتیو در آنها به صورت شکافت خودبخودی ظاهر می‌شود. این فرآیند با شکافت ایجاد شده توسط نوترون یا شکافت القایی که در راکتور رخ می‌دهد، مشابهت دارد ولی با این تفاوت که در این مورد لزومی به گیراندازی قبلی نوترون برای شروع شکافت نیست. در این فرآیند، هسته سنگین که نوترون اضافه دارد تقریباً به دو نیمه تقسیم می‌شود و به دو هسته سبک‌تر تبدیل می‌گردد. هسته‌های نهایی بر خلاف واپاشی آلفاها و بتازا

دقیقاً مشخص نیستند. بلکه بطور آماری در گستره هسته‌های میان وزن توزیع شده‌اند. هسته‌های  $^{154}Cf(t_{1/2} = 90/5d)$  و  $^{152}Cf(t_{1/2} = 2/648y)$  عمده ترین نمونه‌هایی هستند که خودبخود شکافته می‌شوند. با توجه به نیمه عمر نسبتاً زیاد  $^{152}Cf$  نسبت به بقیه اهمیت بیشتری دارد.

#### ۱-۴ پاره‌های شکافت

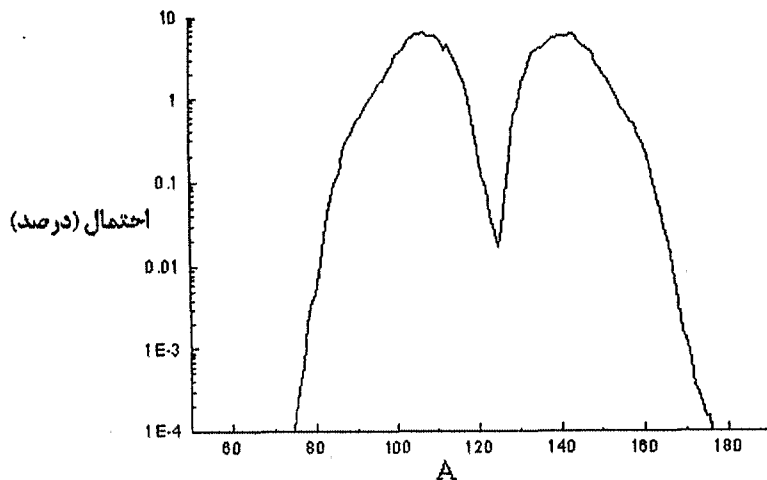
همان گونه که دیدیم شکافت واکنشی است که در آن یک هسته سنگین به دو پاره سبکتر تقسیم می‌شود. در فرآیند شکافت انرژی آزاد می‌شود، زیرا انرژی بستگی برای هر نوکلئون در هسته سنگین، کمتر از پاره‌های شکافت متعلق به میانه جدول تناوبی است. در واقع برای  $A > 65$  انرژی بستگی متوسط بر نوکلئون کاهش می‌یابد.



شکل ۱-۲: انرژی بستگی متوسط بر حسب عدد جرمی.

بنابراین هسته‌ای با  $A$  بزرگ ممکن است با عمل شکافت به پیکربندی پایدارتری برسد. چنین شکافت خودبخودی ممکن است ولی بسیار نامحتمل است. فقط هسته‌های بسیار سنگین ( $Z > 92$ ) با آهنگی چشمگیر دستخوش شکافت خودبخودی می‌شوند.

یک هسته همیشه به یک نحو تقسیم نمی‌شود. هر پاره شکافت با احتمالی خاص جزء محصولات شکافت خواهد بود. بطور مثال بر اساس داده‌های موجود در آزمایشگاه ملی لوس آلاموس در سال ۱۳۷۲/۱۹۹۳ عنصر  $Cf_{98}^{252}$  در اثر شکافت خودبخود حدوداً به ۸۴۶ پاره متفاوت شکافته می‌شود، که هر یک از این پاره‌ها احتمالی خاص را به خود اختصاص می‌دهد [۶].



شکل ۱-۳: درصد محصولات شکافت خودبخود  $Cf_{98}^{252}$  بر حسب عدد جرمی  $A$ .

چنانچه در شکل ۱-۳ مشاهده می‌گردد احتمال شکافت متقارن نسبت به شکافت نامتقارن کمتر می‌باشد. پاره‌های شکافت خیلی پیچیده‌تر از ذرات ساده مانند نوکلئون‌ها هستند، زیرا می‌توانند به شکلهای غیر کروی درآیند، نوسان کنند و صورت‌های مختلف برانگیختگی را اختیار کنند. در تمام فرآیندهای شکافت، وقتی که سد کولنی پشت سر گذاشته می‌شود، دو پاره شکافت توسط نیروی کولنی به خارج شتاب می‌گیرند، به طوری که انرژی جنبشی نهایی آن‌ها نزدیک به ارتفاع سد می‌شود.

## ۱-۵ پرتوزایی پاره‌های شکافت

پاره‌های شکافت اغلب ناپایدارند و با گسیل نوترون، بتا و گاما واپاشیده می‌شوند و اغلب آنها پس از رخداد شکافت، پرتوزا باقی می‌مانند. در جدول ۱-۱ خلاصه‌ای از محصولات و انرژی‌های تقریبی هر کدام، در اثر شکافت آمده است. ذرات مهمی که از پاره‌های شکافت گسیل می‌شوند عبارتند از:

۱- بتا ( $\beta$ ) : تقریباً در هر شکافت شش ذره بتا گسیل می‌شود که انرژی کل  $7 \text{ MeV}$  را حمل می‌کنند.

۲- گاما ( $\gamma$ ) : تقریباً هفت پرتو گاما، هنگام شکافت گسیل می‌شوند. اینها را گاماهای آنی می‌نامند.

پس از آن تقریباً هفت تا هشت گمامای دیگر آزاد می‌شوند که به گاماهای تأخیری معروفند. فوتونها در کل حدود  $15 \text{ MeV}$  در هر شکافت حمل می‌کنند.

۳- نوترون ( $n$ ) : تعداد نوترون‌ها در هر شکافت بین ۲ تا ۳ است. نوترون‌ها انرژی‌های متفاوتی دارند،

مثلثاً انرژی نوترون‌های حاصل از شکافت خودبخود  $^{98}_{\text{Cf}} \text{ Cf}$  دارای یک طیف ماسکولی می‌باشند.

انرژی میانگین نوترونی که در شکافت گسیل می‌شود حدود  $2 \text{ MeV}$  است. بیش از ۹۹٪ نوترون‌ها هنگام شکافت گسیل می‌شوند که نوترون‌های آنی نامیده می‌شوند. کسر کوچکی نیز به صورت نوترون‌های تأخیری گسیل می‌شوند.

۴- نوترينو ( $\nu$ ) : حدود  $11 \text{ MeV}$  انرژی را نوترينوها که در خلال شکافت تولید می‌شوند، حمل

می‌کنند، این انرژی تنها بخشی از محصول انرژی شکافت است که کاملاً فرار می‌کند. این انرژی نشانگر

۰.۵٪ انرژی کل شکافت است [۷].

جدول ۱-۱ خلاصه‌ای از محصولات شکافت

ذره	شکافت / تعداد	شکافت / MeV
پاره‌های شکافت	۲	۱۶۰ تا ۱۷۰
نوترون	۳ تا ۲	۵
گاما (آنی)	۷	۸
گاما (تأخیری)	۷	۷
بتا	۶	۷
نوترینو	۶	۱۱

## ۱-۶ برهمکنش نوترون با ماده

برهمکنش‌های نوترون با ماده تغییرات ملایمی با انرژی و عدد اتمی، آن گونه که برخوردهای فوتون با ماده نشان می‌دهد، ندارد. بنابراین بیان آنها در غالب اصول کلی مشکل‌تر می‌باشد.

برهمکنش نوترون با ماده برخلاف برهمکنش فوتون با ماده که الکترون‌های با سرعت زیاد در مواد تحت تابش ایجاد می‌کند، بازه نسبتاً وسیعی از هسته‌های برگشتی، ذرات زیر اتمی و فوتون‌هایی که برهمکنش‌های آن در فصل بعدی معرفی می‌شوند را تولید می‌نمایند. ذرات باردار متنوعی که بدین وسیله به وجود می‌آیند، انرژی‌شان را به روش‌های بسیار متفاوتی به محیط منتقل نموده و این امر نتایج بیولوژیکی مهمی را در بردارد.

### ۱-۶-۱ برخورد کشسان

ساده‌ترین فرآیند برهمکنش برای یک نوترون برخورد کشسان آن با یک هسته‌ی اتم است، در این برخورد نوترون منحرف شده و بخشی از انرژی آن به هسته منتقل می‌شود. انرژی منتقل شده  $E_{tr}$ ، به هسته‌ای با جرم  $M$  در اثر برخورد کشسان نوترونی به جرم  $m$  و انرژی  $E_n$  از رابطه زیر بدست می‌آید:

$$E_{tr} = E_n \frac{4Mm}{(M+m)} \cos^2 \theta \quad (2-1)$$

$\theta$  زاویه برگشت هسته در مختصات آزمایشگاهی است. این رابطه نشان می‌دهد که انرژی انتقالی در صورتی بیشترین مقدار است که جرم هسته کمترین مقدار باشد و این امر برای هسته هیدروژن (پروتون) با جرم بسیار نزدیک به نوترون اتفاق می‌افتد. چنین برخوردی را به صورت  $H(n,n')H$  نشان داده و سطح مقطع آن با افزایش انرژی نوترون ابتدا به سرعت و سپس برای انرژی‌های  $1\text{ MeV}$  اولیه به طور آهسته و در انرژی‌های بیشتر به طور آهسته‌تر کاهش می‌یابد سطح مقطع برای سایر مواد مهم بیولوژیکی مانند اکسیژن، ازت و کربن به همین صورت می‌باشد.

### ۲-۶-۱ برخورد ناکشسان

در برخورد نوترون با هسته، نوترون می‌تواند به طور لحظه‌ای توسط هسته شکار شده و سپس با انرژی کاهش یافته‌ای تابش شود. در این صورت هسته به حالت تحریکی در آمده و با تابش پرتو گاما به حالت پایه‌ای خود بر می‌گردد. یک مثال از چنین برخوردي  $^{16}\text{O}(n,n')^{16}\text{O}^*$  است که  $^{16}\text{O}^*$  با تابش پرتو گاما با انرژی  $11\text{ MeV}$  به حالت پایدار بر می‌گردد.

### ۳-۶-۱ بروخورد غیرکشسان

اگر ذره حاصل از بروخورد نوترون نباشد، عبارت غیرکشسان استفاده می‌شود. در عناصر مهم بیولوژیکی مانند کربن، ازت و اکسیژن بروخوردهای ناکشسان و غیرکشسان معمولاً دارای انرژی آستانه‌ای در محدوده  $4-12 \text{ MeV}$  می‌باشند. با افزایش انرژی آستانه به بیشتر از  $10 \text{ MeV}$ ، سطح مقطع این بروخوردها بسرعت افزایش یافته و به مقدار نسبتاً ثابتی می‌رسد.

### ۴-۶-۱ فرآیند گیراندازی (شکار)

نوترون‌های حرارتی می‌توانند توسط هسته شکار شوند. سطح مقطع این واکنش در انرژی‌های بیشتر از  $0.25 \text{ MeV}$  اغلب با افزایش انرژی نوترون کاهش می‌یابد. دو مثال مهم برای این فرآیند عبارتست از  $^{1\text{H}}(\text{n},\gamma)^{2\text{H}}$  که انرژی پرتوگاما آن  $2/2 \text{ MeV}$  می‌باشد و  $^{14\text{N}}(\text{n},\text{p})^{13\text{C}}$  که پروتون با انرژی  $0.16 \text{ MeV}$  تولید می‌نماید.

### ۱-۷-۱ اهمیت نسبی برهمکنش نوترون با عناصر H و C و N و O

اولین مرحله برای انتقال انرژی نوترون به ماده، تبدیل آن به انرژی جنبشی ذرات باردار است. برای نوترون با انرژی‌های بین  $100 \text{ eV}$  تا  $20 \text{ MeV}$  و در بافت نرم که عمدتاً از عناصر H و C و N و O تشکیل شده، بروخورد کشسان با هیدروژن مهمترین فرآیند می‌باشد. بطوریکه واکنش  $^{1\text{H}}(\text{n},\text{n}')^{1\text{H}}$  در حدود  $1.0 \text{ KeV}$  حدود  $97\%$  انرژی اولیه را انتقال می‌دهد. این مقدار مطابق آنچه در شکل ۴-۱ ملاحظه می‌شود، در  $8 \text{ MeV}$  به حدود  $87\%$  و در  $18 \text{ MeV}$  تا حدود  $70\%$  کاهش می‌یابد. این امر - با توجه به آن که هیدروژن تنها  $10\%$  وزنی بافت نرم را تشکیل می‌دهد - این نکته را مشخص می‌کند که در دوزیمتری نوترون هر ماده‌ای که به عنوان معادل بافت استفاده می‌شود، بایستی حاوی هیدروژن به مقدار بسیار نزدیک به بافت مورد نظر باشد. فرآیندهایی که در مراحل بعدی اهمیت قرار دارند، به